

（付 図）

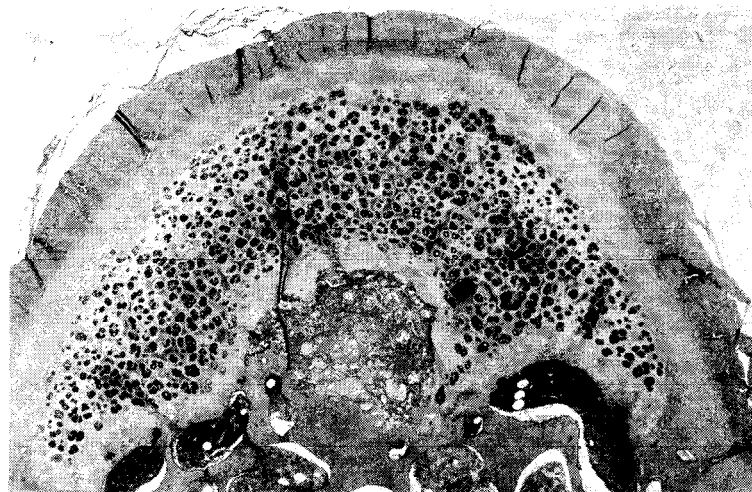


図 1

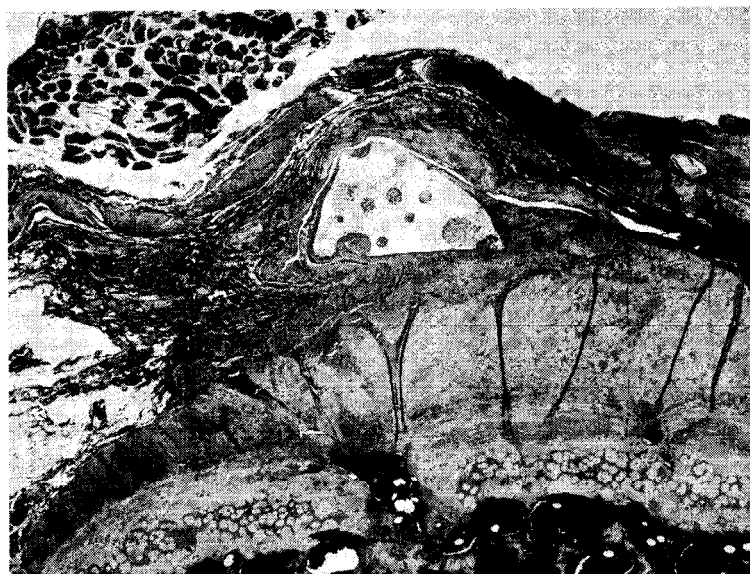


図 2

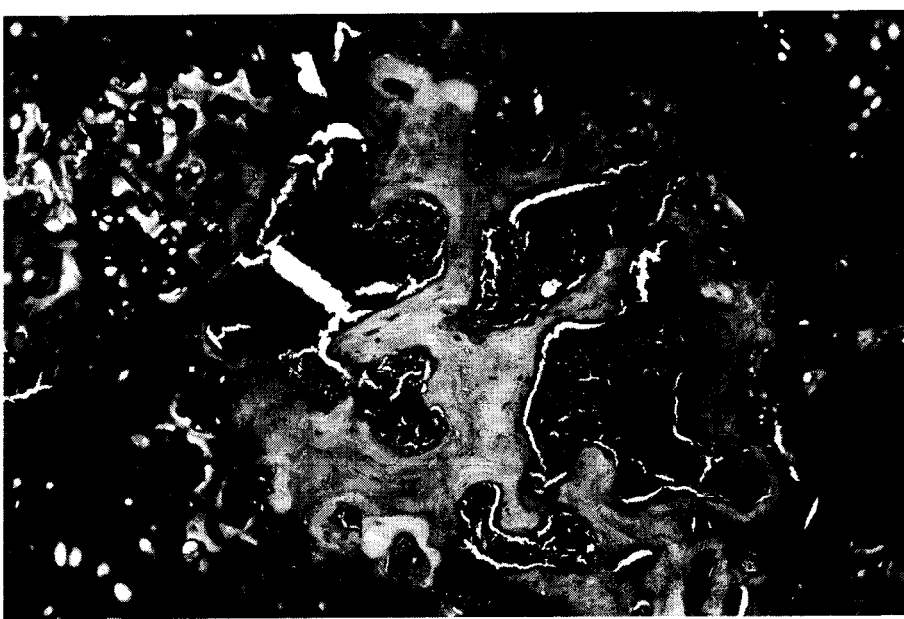


図 3

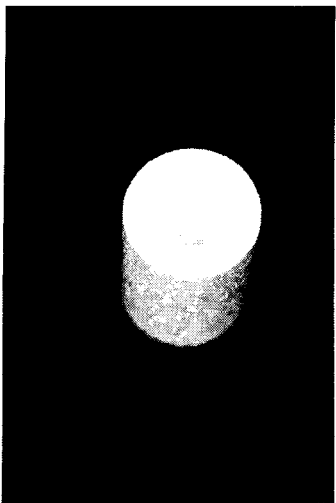


図 4

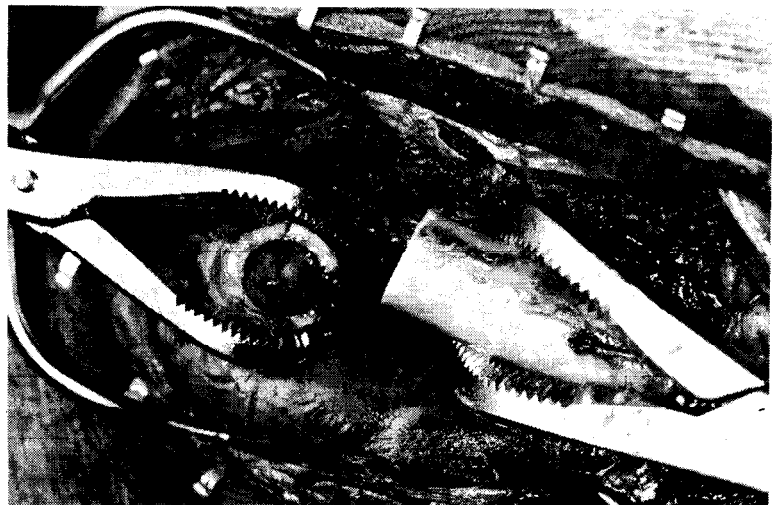


図 5

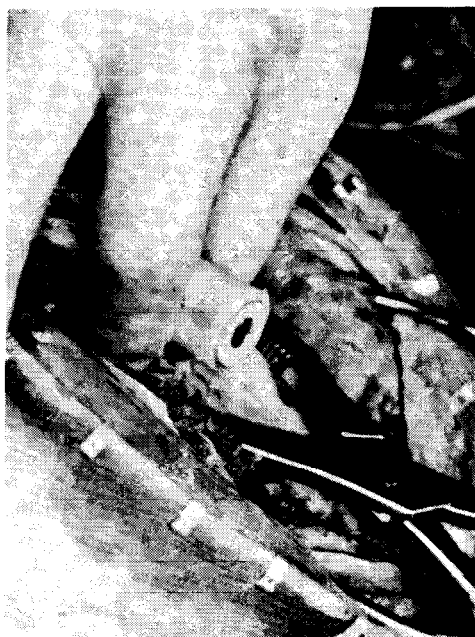


図 6

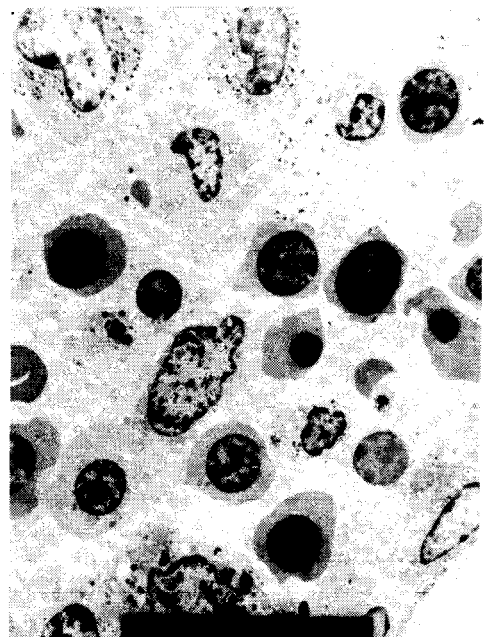


図 7

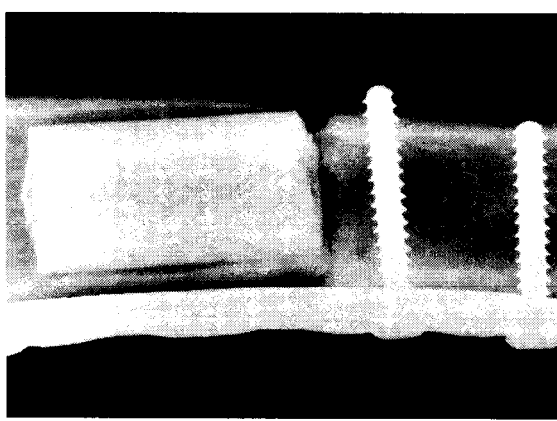


図 8

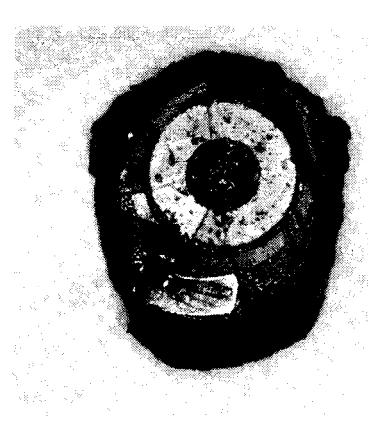


図 9

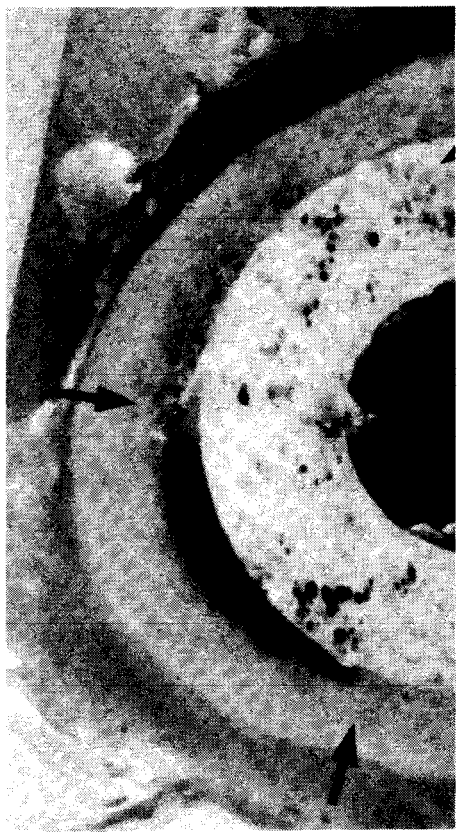


図10

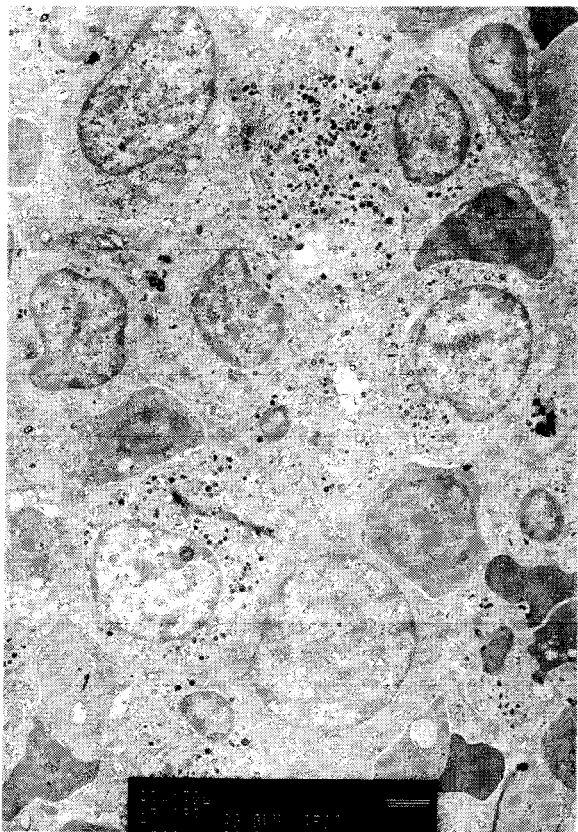


図11

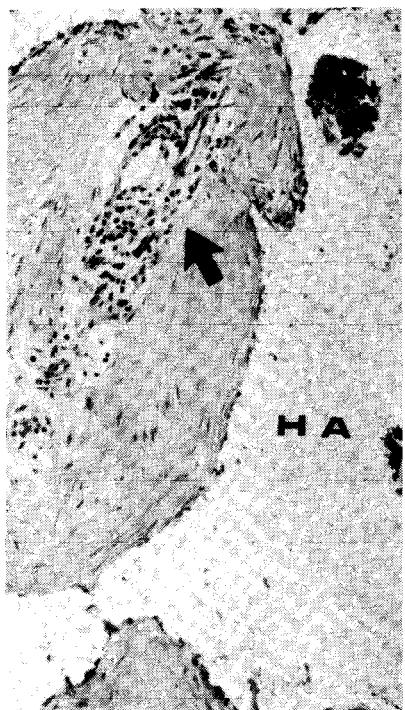


図12



図13

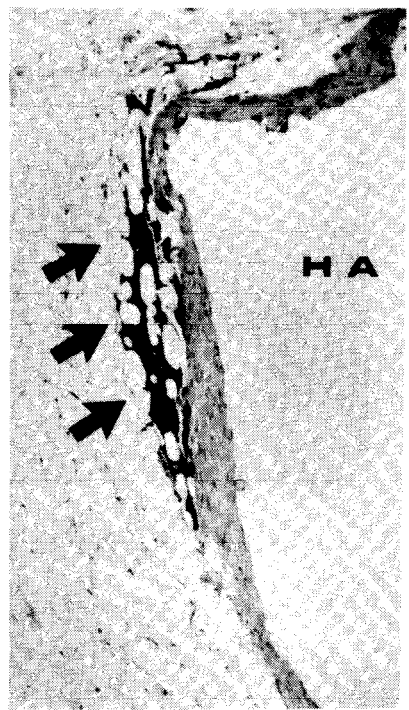


図14

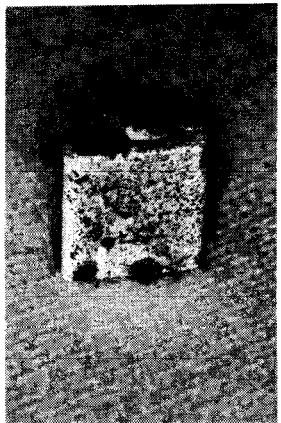


図15

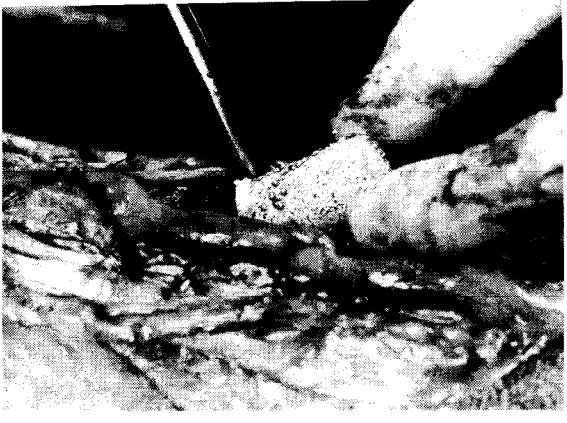


図16

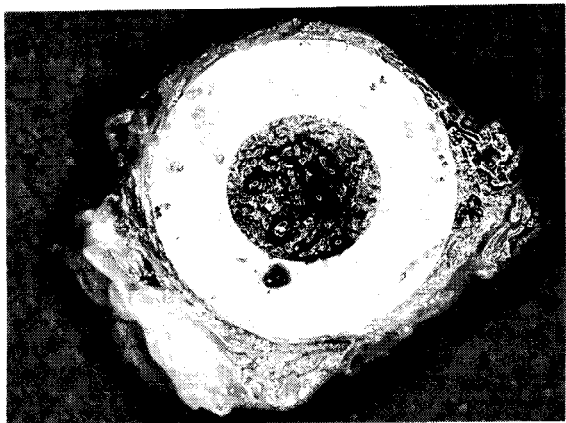


図17



図18



図19

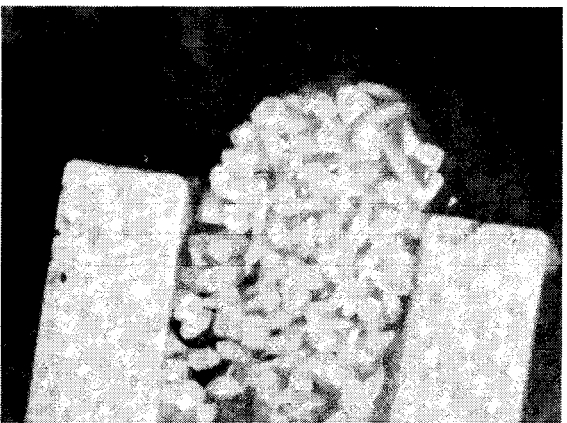


図20

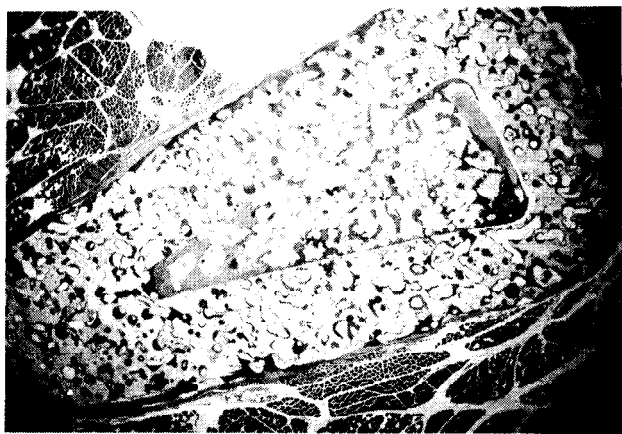


図21



図22

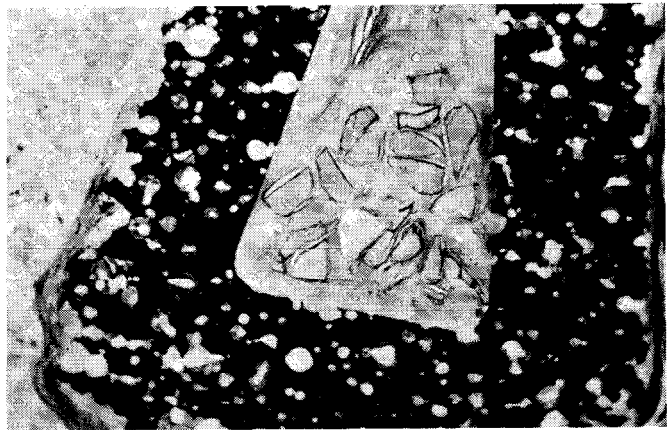


図23

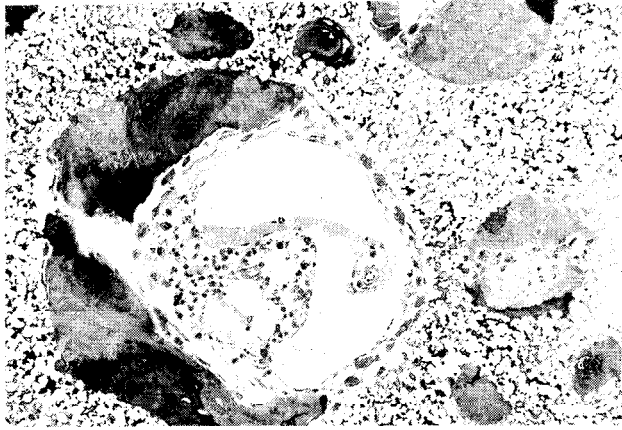


図24

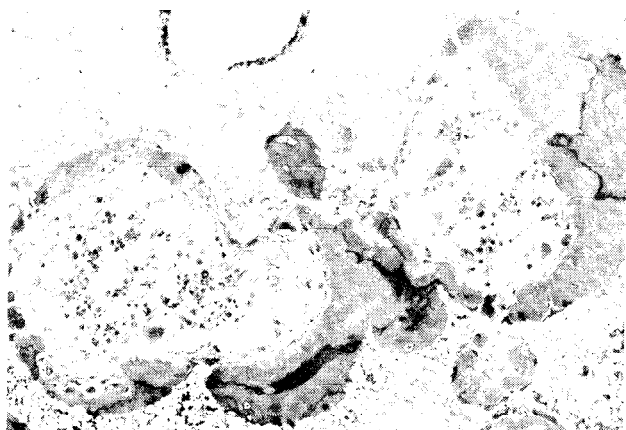


図25

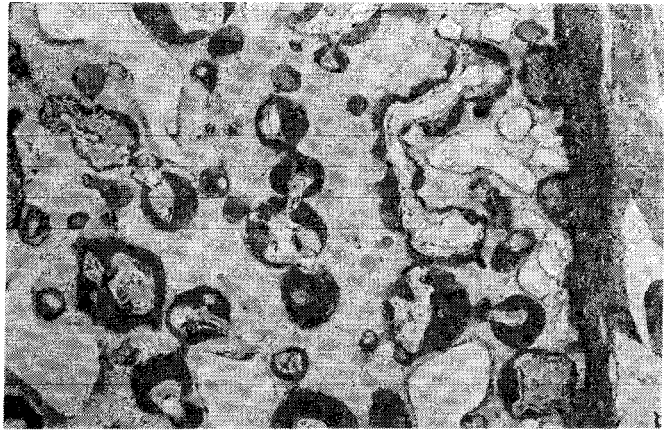


図26

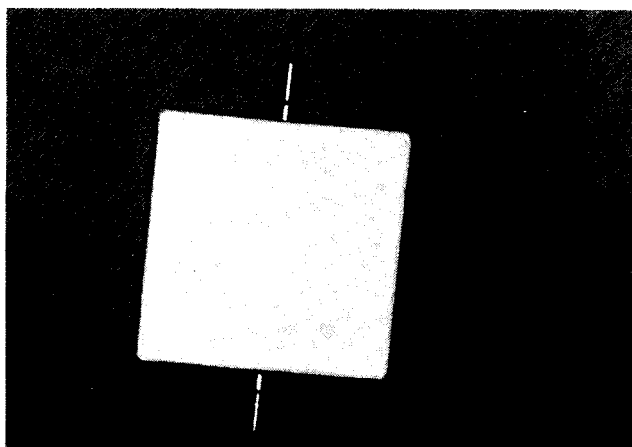


図27

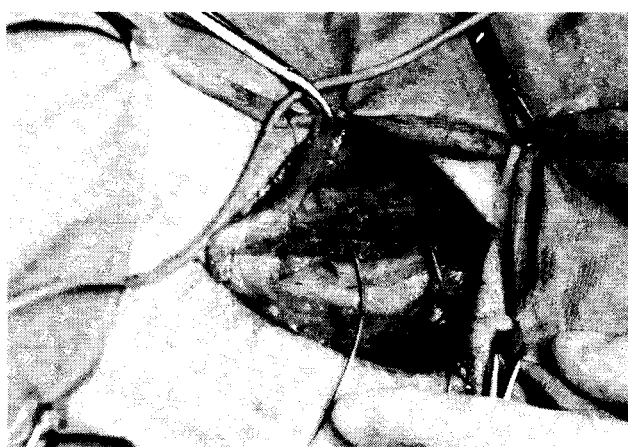


図28

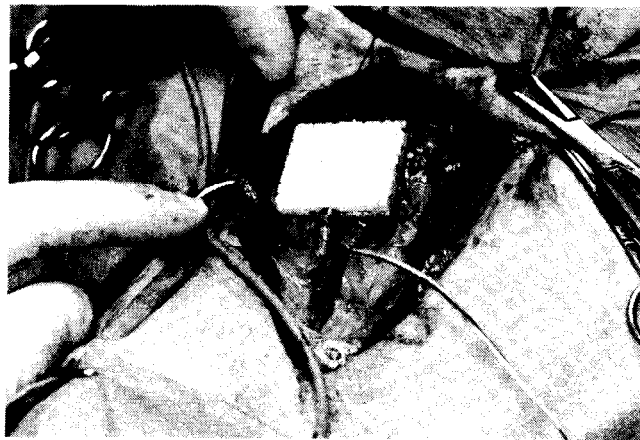


図29



図30



図31

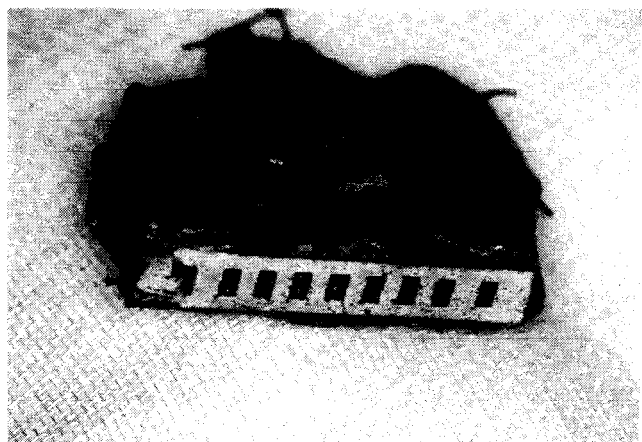


図32

図説明

- 図 1 肋骨軟骨・骨髓腔の境界部に植入したアパタイト（成犬、12か月経過時）ほとんど溶解し焼結体の形を留めていない。著明な軟骨の増生が認められる。
- 図 2 肋骨骨膜上のアパタイト（成犬、12か月経過時）著明な変化は認められない。
- 図 3 図1のアパタイトは軟骨内で化骨し溶解している。
- 図 4 40%気孔率の円筒状のアパタイト人工骨
- 図 5 成犬の大腿骨骨髓腔への移植
- 図 6 人工骨の移植
- 図 7 大腿骨髓のTEM像
- 図 8 移植部の人工骨のX線写真
- 図 9 大腿骨の移植部の断面
- 図 10 骨髓腔内的人工骨の非脱灰標本
- 図 11 円筒状のアパタイト人工骨内に形成された骨髓組織のTEM像
- 図 12 アパタイト多孔体内の造血巣の形成
- 図 13 高圧低温によるアパタイト緻密焼結体（stoichiometric）の筋肉内移植
著明な造血巣の形成が認められた。
- 図 14 高圧低温によるアパタイト緻密焼結体（nonstoichiometric）の筋肉内移植
著明な造血巣の形成が認められた。
- 図 15 円筒形と中空三角柱形の人工骨 中空部にアパタイト顆粒を填入し、
ヘパリン添加の移植犬の静脈血に浸したもの移植した。
- 図 16 成犬の背筋部と成猿の大脚筋部に移植した。

図 17 摘出した人工骨の割面（成犬、2か月経過時）

図 18 摘出した人工骨の割面（成犬、2か月経過時）

図 19 周囲組織とともに摘出した人工骨

周囲に極めて豊富な血管網の増生が認められた。

図 20 人工骨の長軸方向の剖面

図 21 人工骨部の骨髓組織と骨の誘導（脱灰標本）

成猿大腿部への移植後2年経過時 内腔にも骨の形成が著明に認められる。

図 22 人工骨部の骨髓組織と骨の誘導（脱灰標本）

成猿大腿部への移植後1年経過時 内腔にも骨の形成が著明に認められる。

図 23 人工骨骨髓チャンバーの断面（非脱灰標本）

多孔体のみに骨の形成が認められる。

図 24 アパタイトの多孔部骨髓組織（1年経過時）

図 25 アパタイトの多孔部骨髓組織（1年経過時）

図 26 多孔部の骨の誘導（2か月経過時）

図 27 人工骨髓のチャンバー

輸入管と輸出管を持ち、内部は迷路を形成している。

図 28 移植部の大動脈（成犬）

図 29 人工骨髓チャンバーの移植

図 30 摘出時の人工骨髓チャンバー（2か月経過時）

図 31 輸出管の下流の動脈は2か月後も閉鎖していなかった。

図 32 人工骨チャンバーの剖面